

# ناحیه‌بندی مرز اندوکارد بطن چپ در تصاویر تشدید مغناطیسی قلبی با شدت روشانی غیریکنواخت

محمدباقر خامه‌چیان و مهدی سعادتمند طرزجان

آزمایشگاه تصویربرداری پزشکی، گروه برق، دانشکده مهندسی، دانشگاه فردوسی مشهد، مشهد، ایران

## چکیده

مرز فعال تصادفی (STACS) روشی متداول و پرکاربرد برای بخش‌بندی مرز اندوکارد در تصاویر تشدید مغناطیسی قلبی (CMR) است. با این وجود، STACS در تصاویر CMR با روشانی غیریکنواخت عملکرد مطلوبی ندارد؛ زیرا در تابعی انرژی آن برای توصیف توزیع سطح خاکستری نواحی درون و برون مرز فعال، از دو تابع چگالی احتمال گوسی استفاده شده است. از طرف دیگر، مرز فعال تطبیق باینری محلی (LBF)، بهدلیل استفاده از کرنل گوسی برای پردازش محلی سطح خاکستری پیکسل‌ها، از عملکرد مناسبی در بخش‌بندی نواحی ناهمگن برخوردار است. در این مقاله، با جایگزین کردن جمله مبتنی بر تابعی انرژی STACS با بخشی از تابعی انرژی LBF، یک مدل فرم‌پذیر جدید برای بخش‌بندی تصاویر CMR با روشانی ناهمگن ارائه شده است. به علاوه، ضرایب جملات مختلف تابعی انرژی در طول تکامل مرز فعال به صورت زمان-واقعی تنظیم شده‌اند. برای ارزیابی عملکرد روش پیشنهادی از چهل تصویر CMR در دو مرحله پایان سیستول و دیاستول استفاده شده است. در هر تصویر، مرز اندوکارد مطلوب توسط یک متخصص به صورت دستی مشخص شده است. نتایج تجربی بیان‌گر عملکرد بهتر روش پیشنهادی در بخش‌بندی مرز اندوکارد در مقایسه با مرز فعال هندسی، مرز فعال بدون لبه و STACS است.

وازگان کلیدی: بخش‌بندی، تصاویر تشدید مغناطیسی قلبی، مرز اندوکارد، مدل‌های فرم‌پذیر هندسی، روش سطح تراز، مرز فعال تصادفی، تطبیق دودویی محلی.

## ۱- مقدمه

کاربردهای بالینی، به طور معمول از بخش‌بندی تصاویر تشدید مغناطیسی قلبی<sup>۲</sup> (CMR) برای تعیین محل مرز اندوکارد بطن چپ استفاده می‌شود (Zuempelwiriyawee et al., 2005). بدین ترتیب می‌توان پارامترهای مختلف عملکرد قلب مانند تغییرات حجم خون طی یک دوره قلبی را به صورت کمی اندازه‌گیری کرد. نتایج حاصل در تشخیص بیماری‌هایی از قبیل اختلالات در پجه‌های بطنی و نارسایی‌های مادرزادی راه‌گشا هستند (Hautvast, 2004).

در روش سنتی، مرز اندوکارد در تصویر به صورت دستی مشخص می‌شود. با توجه به دشواری و زمان بررسیدن

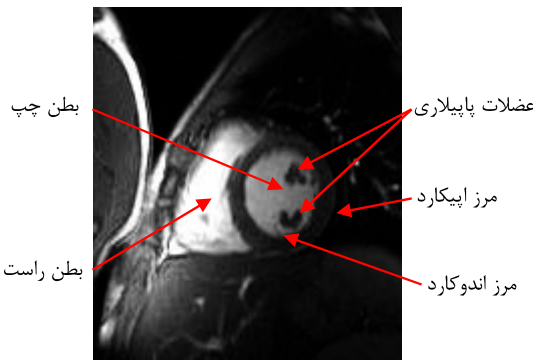
مطالعات اخیر نشان می‌دهند بیماری‌های قلبی عروقی عامل بیش از ۳۱ درصد کل مرگ و میر در جهان بوده است. بالغ بر سه میلیون نفر از این افراد، سنی کمتر از شصت سال داشته‌اند (Mendis et al., 2011). از این‌رو بررسی کمی عملکرد بطن چپ (به عنوان مهم‌ترین بخش قلب) در تشخیص و درمان بیماری‌های قلبی اهمیت ویژه‌ای دارد.

تصویربرداری تشدید مغناطیسی قلبی به عنوان یک روش غیرتهاجمی، اطلاعات زمانی و مکانی کاملی از حفره‌های قلب در طول یک دوره قلبی<sup>۱</sup> فراهم می‌کند. در

<sup>2</sup> Cardiac magnetic resonance (CMR) images

<sup>1</sup> Cardiac cycle





(شکل -۱): مرزهای اندوکارد و اپیکارد، بطن های چپ و راست و عضلات پاپیلاری، در یک تصویر CMR.

همکارانش مرز فعال کوتاهترین طول و مرز فعال بدون لبه<sup>۳</sup> (Chan and Vese, 2001) (ACWE) را برای بخش‌بندی مرزهای اندوکارد و اپیکارد به خدمت گرفته‌اند. آنها از اطلاعات ناحیه و شکل پیشین برای تزویج مرزهای فعال استفاده کرده‌اند (Woo *et al.*, 2009).

<sup>۴</sup> و همکارانش روش *Pluempitiwiriyawej* (STACS) را برای تعیین مرز اندوکارد ارائه کرد. آنها در تابعی انرژی از سه عبارت مختلف مبتنی بر روش‌نایابی، لبه و شکل بافت استفاده کرده‌اند (*Pluempitiwiriyawej et al.*, 2005). اما، روش مذکور بهدلیل استفاده از توزیع گوسی در عبارت مبتنی بر ناحیه (در تابعی انرژی<sup>۵</sup>، تنها عملکرد مناسبی در تصاویر با شدت نور کم دارد (Schöllhuber, 2008).

*Chen* و همکارانش روش STACS را با استفاده از یک مدل غیرپارامتری-غیر گوسی بهبود بخشیدند و با موفقیت آن را در تصاویر تشخیصی مغناطیسی قلبی نشانه‌گذاری شده با جایه‌جایی.<sup>۶</sup> آزمایش کردن (Chen *et al.*, 2008) در کار دیگری، *Li* و همکارانش روشی بسیار جالب برای حل مشکل STACS ارائه دادند (*Li et al.*, 2009). آنها دو مرز فعال را برای بخش‌بندی همزمان اندوکارد و اپیکارد با یکدیگر تزویج کردند؛ به علاوه، برای هر یک از نواحی بیرون و درون مرزهای اندوکارد و اپیکارد، توابع چگالی احتمال متفاوتی در نظر گرفته شد. بدین ترتیب با محلی ترشدن نواحی، تابع چگالی احتمال سطوح خاکستری در هر ناحیه به توزیع گاوسی نزدیک‌تر خواهد شد. در حقیقت، تابع چگالی

روش سنتی، به‌طور معمول بخش‌بندی دستی تنها در تصاویر مربوط به مراحل انتهای دیاستول و انتهای سیستول انجام می‌شود؛ به علاوه، مطابق با استانداردهای بالینی ماهیچه‌های پاپیلاری جزیی از مرز اندوکارد محاسب نمی‌شوند (Petitjean and Dacher *et al.*, 2011) (شکل (۱)). به عبارت دقیق‌تر می‌توان گفت مرز اندوکارد بطن چپ منطبق بر مرز حوضچه خونی نیست. درنتیجه، تعیین مرز اندوکارد وظیفه‌ای آسان نبوده و اختلاف نظر بین متخصصان در این باره اختلاف ناپذیر است؛ لذا، استفاده از الگوریتم‌های پردازشی خودکار برای بخش‌بندی مرز اندوکارد ضروری به نظر می‌رسد.

مدلهای فرم‌پذیر (یا مرزهای فعال) یکی از روش‌های متداول و پرکاربرد برای بخش‌بندی خودکار تصاویر قلبی است (Ranganath, 1995, Ben Ayed *et al.*, 2009). به‌طور کلی، مرزهای فعال منحنی‌هایی هستند که می‌توانند در جهت کمینه‌سازی انرژی‌های داخلی و خارجی در حوزه تصویر تکامل یابند. انرژی داخلی منحنی را نرم و مشتق‌پذیر نگاه داشته، درحالی‌که انرژی خارجی آن را به سمت (Kass *et al.*, 1987, Sethian, 1995) ویژگی‌های مطلوب در تصویر منتقل می‌کند، شامل لبه (Caselles *et al.*, 1995)، ناحیه (Cootes *et al.*, 1995) و کرنل‌های Lankton and Tannenbaum, 2008, Li *et al.*, 2001 محلی (Paragios, 2003) برای تعریف انرژی خارجی استفاده کرده‌اند؛ اما به‌دلیل پیچیدگی‌هایی چون تنوع شکل مرز اندوکارد، ناهمگن‌بودن روش‌نایابی و حضور عضلات پاپیلاری، باید ترکیبی از ویژگی‌های مختلف در بخش‌بندی تصاویر استفاده شود. به عنوان مثال *Paragios*, با ترکیب مرز فعال کوتاهترین طول (Caselles *et al.*, 1995) (مبتنی بر لبه)، شکل پیشین<sup>۱</sup> (دانش پیشین از شکل بطن چپ) و اطلاعات ناحیه، روشی برای بخش‌بندی مرز اندوکارد ارائه کرد (Lynch, 2003). *Paragios* و همکارانش از دو مرز فعال تزویجی<sup>۲</sup> برای بخش‌بندی همزمان مرزهای اندوکارد و اپیکارد بطن چپ استفاده کرده است. آنها نیز از مرز فعال کوتاهترین و شکل پیشین آماری برای این منظور استفاده کرده‌اند (Lynch *et al.*, 2006). در تحقیق دیگری، *Woo* و

<sup>۳</sup> Active contour without edge (ACWE)

<sup>۴</sup> Stochastic active contour scheme (STACS)

<sup>۵</sup> Energy functional

<sup>۶</sup> Cine-displacement-encoded cardiac MR

<sup>۱</sup> Prior shape

<sup>۲</sup> Coupling deformable model

فعال از مرز اندوکارد می‌شود. همچنین، ( $\phi$ )  $J_3$  از مدل پارامتری بیضی، برای اجبار مرز فعال به پیروی از شکل بیضی بهره برده و درنهایت، جمله منظم‌کننده ( $\phi$ )  $J_4$  در عمل مانع ایجاد چین و چروک یا گستگی در مرز فعال می‌شود.

به طور خاص، عبارت مبتنی بر ناحیه ( $\phi$ )  $J_1$  مشکل از دوتابع چگالی احتمال گوسی  $p_1$  و  $p_2$  برای توصیف توزیع سطح خاکستری نواحی داخل و خارج مرز فعال به صورت زیر است:

$$J_1(\phi) = \int_{\Omega} -\ln[p_1(u(x,y))] H_{\varepsilon}(\phi(x,y)) - \ln[p_2(u(x,y))] [1 - H_{\varepsilon}(\phi(x,y))] dx dy \quad (2)$$

که  $\Omega \rightarrow R$ :  $u(x,y)$  تصویر پردازشی بوده و تابع پله  $H$  مطابق معادله زیر تعریف می‌شود:

$$H_{\varepsilon}(\phi) = \frac{1}{2} \left( 1 + \frac{2}{\pi} \arctan\left(\frac{\phi}{\varepsilon}\right) \right) \quad (3)$$

که ضریب  $\varepsilon$  تعیین کننده میزان شبیه‌سازی است. با استفاده از معادله اویلر-لاگرانژ، می‌توان نشان داد معادله تکامل STACS عبارت است از:

$$\frac{\partial \phi}{\partial t} = [\lambda_1(M_1 - M_2) - A(\phi, t)] \delta_{\varepsilon}(\phi) \quad (4)$$

که در آن ( $A(\phi, t)$ ) شامل عبارات حاصل از جملات مبتنی بر لبه، شکل و نرم کننده در تابعی انرژی است (برای مطالعه دراین باره به (Pluempitiwiriyawej *et al.*, 2005) مراجعه شود). همچنین، تابع ضریب  $\delta_{\varepsilon}$  برابر با مشتق ( $H(\phi)$  بوده و عبارات متناظر با جمله مبتنی بر ناحیه در تابعی  $M_k$  انرژی) با استفاده از رابطه زیر به دست می‌آید:

$$M_k = \frac{1}{2} \ln(2\pi\sigma_k^2) + \frac{(u(x,y) - m_k)^2}{2\sigma_k^2} \quad k = 1, 2 \quad (5)$$

که  $m_k$  و  $\sigma_k$  به ترتیب میانگین و واریانس سطح روشنایی پیکسل‌های داخل ( $k=1$ ) و خارج ( $k=2$ ) مرز فعال است. به دلیل عدم یکنواختی روشنایی، تابع چگالی احتمال سطوح خاکستری، در نواحی داخل و خارج مرز اندوکارد، نزوماً منطبق بر توزیع گاوی نخواهد بود. درنتیجه، انتظار می‌رود جمله مبتنی بر ناحیه در STACS عملکرد قابل

احتمال سطوح خاکستری در نواحی درون و برون مرز اندوکارد لزوماً منطبق بر توزیع گوسی نیست؛ لذا، عبارت مبتنی بر ناحیه در STACS کارایی لازم را نخواهد داشت. یک راه حل برای حل مشکل بالا، استفاده از مدل‌های فرم‌پذیر مبتنی بر پردازش قابی<sup>۱</sup> (کرنلی) (Larkton and Tannenbaum, 2008, Li *et al.*, 2008, Yuan *et al.*, 2012, Zhang *et al.*, 2010, Li *et al.*, 2011) است. این مدل‌ها با استفاده از یک کرنل محلی، منحنی فرم‌پذیر را تنها براساس اطلاعات روشنایی محلی هدایت می‌کنند. از معروف‌ترین این نوع از مدل‌ها، می‌توان به مدل کرنلی "تطبیق دودویی محلی"<sup>۲</sup> (LBF) (Li *et al.*, 2008) اشاره کرد. در این روش منحنی فرم‌پذیر براساس متوسط محلی روشنایی به سمت بافت مورد نظر هدایت می‌شود. در این مقاله، با جایگزین کردن تابعی انرژی LBF به جای عبارت مبتنی بر ناحیه در تابعی انرژی، مشکل STACS برطرف شده است. همچنین، با الهام از مرجع (Chen *et al.*, 2008) روشی برای تنظیم ضرایب مدل فرم‌پذیر پیشنهادی (در حین تکامل) براساس روش بازپخت شبیه‌سازی<sup>۳</sup> ارائه شده است.

در بخش بعد مدل STACS به صورت مختصر مورد بررسی قرار می‌گیرد. روش LBF در بخش سوم مرور خواهد شد. در بخش چهارم روش پیشنهادی مطرح می‌شود. بخش پنجم به شرح و بررسی نتایج تجربی اختصاص یافته است. درنهایت، بخش ششم به نتیجه‌گیری می‌پردازد.

## ۲- مرز فعال تصادفی (STACS)

تابعی انرژی STACS به صورت زیر تعریف شده است (Pluempitiwiriyawej *et al.*, 2005)

$$J(\phi) = \lambda_1 J_1(\phi) + \lambda_2 J_2(\phi) + \lambda_3 J_3(\phi) + \lambda_4 J_4(\phi) \quad (1)$$

که در آن  $\phi$  تابع سطح تراز، ( $J_1(\phi)$ ) تا ( $J_4(\phi)$ ) به ترتیب عبارت‌های مبتنی بر ناحیه، لبه، شکل پیشین و نرم کننده است. همچنین، ضرایب  $\lambda_i$  ( $i=1, 2, 3, 4$ ) وزن عبارت متناظر را در تکامل مرز فعال مشخص می‌کند. به بیان دقیق‌تر، ( $J_1(\phi)$ ) از توابع توزیع آماری برای توصیف روشنایی پیکسل‌های داخل و خارج مرز فعال استفاده می‌کند. ( $J_2(\phi)$ ) با استفاده از لبه‌های تصویر CMRI مانع از عبور مرز

<sup>1</sup> Patch-based deformable models

<sup>2</sup> Local binary fitting

<sup>3</sup> Simulated annealing



## ۴- روش پیشنهادی

به طور کلی، عبارت‌های عمومی<sup>۲</sup> مبتنی بر ناحیه در تابعی انرژی (مانند جمله مورد استفاده در تابعی STACS) به طور معمول برای بخش‌بندی نواحی تکه‌ای ثابت<sup>۳</sup> مناسب هستند (Chan and Vese, 2001, Vese and Chan, 2002). لذا، با توجه به تغییرات شدید روش‌نایابی در تصاویر CMR، انتظار می‌رود که استفاده از بک عبارت کرنلی برای جمله مبتنی بر ناحیه بتواند عملکرد بهتری در بخش‌بندی اندوکارد ارائه کند.

تابعی انرژی در مدل فرم‌پذیر پیشنهادی (که LBF- STACS نامیده می‌شود) از جایگزینی عبارت  $J_1(\phi)$  در معادله (۱) با دو جمله اول تابعی انرژی LBF در معادله (۶) به دست می‌آید:

$$J(\phi, f_1, f_2) = \lambda_1 \left( \alpha_1 \int_{\Omega} \int K_{\sigma}(x-y) |I(y) - f_1(x)|^2 H_{\varepsilon}(\phi(y)) dy dx + \alpha_2 \int_{\Omega} \int K_{\sigma}(x-y) |I(y) - f_2(x)|^2 (1 - H_{\varepsilon}(\phi(y))) dy dx \right) + \lambda_2 J_2(\phi) + \lambda_3 J_3(\phi) + \lambda_4 J_4(\phi) \quad (8)$$

در این حالت، توابع تطبیق  $f_1$  و  $f_2$  روش‌نایابی محلی پیکسل‌های داخل و خارج مرز اندوکارد را تخمین می‌زنند. برای محاسبه بهینه آنها کافی است معادله اوطلر-لاگرانژ<sup>۴</sup> بر حسب  $f_1$  و  $f_2$  محاسبه و برابر صفر قرار داده شود؛ لذا داریم:

$$\begin{cases} f_1(x) = \frac{K_{\sigma}(x) * [H_{\varepsilon}(\phi(x)) I(x)]}{K_{\sigma}(x) * H_{\varepsilon}(\phi(x))} \\ f_2(x) = \frac{K_{\sigma}(x) * [(1 - H_{\varepsilon}(\phi(x))) I(x)]}{K_{\sigma}(x) * (1 - H_{\varepsilon}(\phi(x)))} \end{cases} \quad (9)$$

همچنین، با استفاده از قضیه اویلر-لاگرانژ می‌توان نشان داد تابع سطح تراز بهینه  $(\phi)$  پاسخ معادله زیر خواهد بود:

$$[-\lambda_1(\alpha_2 e_2 - \alpha_1 e_1) + A(\phi, t)] \delta(\phi) = 0 \quad (10)$$

که در آن توابع  $e_1$  و  $e_2$  از محاسبه معادله اویلر-لاگرانژ برای دو جمله اول تابعی انرژی (۸) به صورت زیر به دست می‌آید (برای مطالعه درباره اثبات روابط اخیر پیوست الف را ببینید):

<sup>2</sup> Global  
<sup>3</sup> Piecewise constant (PC)

قابلی نداشته باشد (Schöllhuber, 2008). یک روش برای تخفیف مشکل بالا، کاهش شدت نور تصویر CMR با اعمال یک کرنل گاوی بر تصویر است. اما در این حالت، از دقت مکانیابی مرز اندوکارد بهشت کاسته خواهد شد. این در حالی است که یک روش متدالو برای مقابله عدم یکنواختی روش‌نایابی تصویر، استفاده از مدل‌های فرم‌پذیر کرنلی مانند LBF است.

## ۳- مرز فعال تطبیق باینری محلی (LBF)

در مدل LBF که توسط Li و همکارانش ارائه شد (Li et al., 2008)، با استفاده از کرنل گاوی، دو تابع تطبیق<sup>۱</sup> ( $f_1$  و  $f_2$ ) برای تقریب سطوح خاکستری پیکسل‌های واقع در همسایگی داخلی و خارجی مرز فعال تعریف می‌شوند؛ بدین ترتیب، تابعی انرژی LBF به صورت زیر تعریف می‌شود:

$$J(\phi, f_1, f_2) = \alpha_1 \int_{\Omega} \int K_{\sigma}(x-y) |I(y) - f_1(x)|^2 H_{\varepsilon}(\phi(y)) dy dx + \alpha_2 \int_{\Omega} \int K_{\sigma}(x-y) |I(y) - f_2(x)|^2 (1 - H_{\varepsilon}(\phi(y))) dy dx + \int_{\Omega} B(\phi, x) dx \quad (6)$$

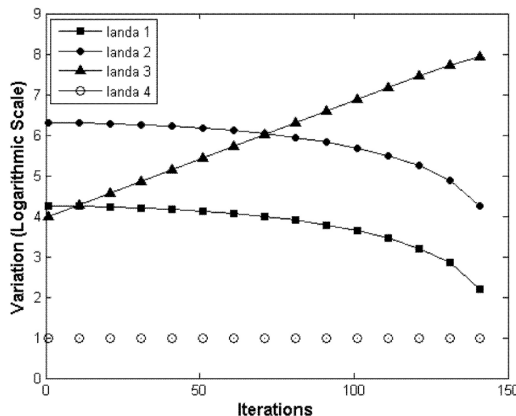
که در آن  $I$  تصویر اصلی،  $x = (x, y)$  و  $\phi$  تابع پله  $H(\phi)$  (با انحراف معیار  $\sigma > 0$ ) می‌توان نوشت:

$$K_{\sigma}(u) = \frac{1}{(2\pi)^{n/2} \sigma^n} e^{-|u|^2 / 2\sigma^2} \quad (7)$$

به علاوه، در معادله (۶)، عبارت  $B(\phi, x)$  شامل جملات نرم‌کننده برای مشتق‌پذیر و معتبر نگاه داشتن تابع فاصله  $\phi$  است. مقادیر توابع تطبیق  $f_1$  و  $f_2$  در هر نقطه از همسایگی مرز فعال، برابر با متوسط محلی سطح خاکستری پیکسل‌ها، به ترتیب، درون و برون مرز هستند.

<sup>1</sup> Fitting function





(شکل-۲): نمودارهای ضرایب روش پیشنهادی. مقیاس محور عمودی برمبنای لگاریتم ۱۰ است

برای برآورده کردن خواسته‌های بالا مشابه با روش ارائه شده در مرجع (Chen *et al.*, 2008)، ضرایب  $\lambda_1$  تا  $\lambda_4$  براساس روش بازپخت شبیه‌سازی شده و مطابق با نمودارهای نشان داده شده در شکل (۲) تنظیم می‌شوند (پیوست ج را ببینید). همان‌طور که مشاهده می‌شود، در آغاز تکامل، مرز فعال، بیشتر تحت تأثیر جملات لبه و ناحیه است؛ در حالی که در مراحل انتهایی، جمله مبتنی بر شکل بیشترین تأثیر را بر تغییر شکل مرز فعال خواهد داشت. شکل (۳) مراحل تکامل مرز فعال پیشنهادی برای ناحیه‌بندی مرز اندوکارد بطن چپ در یک تصویر تشخیصی مغناطیسی قلبی نمونه را نشان می‌دهد.

## ۵- بحث و بررسی

برای ارزیابی عملکرد LBF-STACS، از پایگاه تصویر معرفی شده در مرجع (Tsotsos, 2014) استفاده شده است. این پایگاه داده شامل تصاویر CMR در راستای محور کوتاه<sup>۱</sup> قلبی از ۳۳ بیمار مختلف است. تصاویر توسط دستگاه GE Gensis Signa MR با پروتکل تصویربرداری FEISTA در بیمارستان بیماری‌های کودکان شهر تورنتو کانادا تهیه شده‌اند. همه بیماران، سنی کمتر از هیجده سال داشته و اکثر آنها دارای بیماری‌هایی از قبیل کار迪ومیوپاتی<sup>۲</sup>، آنورتیک ریجرجیتیشن<sup>۳</sup>، نارسایی بطنی<sup>۴</sup> و کم خونی<sup>۵</sup> بوده‌اند. برای هر بیمار، کل دوره قلبی در بیست زمان-

$$\begin{cases} e_1(\mathbf{x}) = \int_{\Omega} K_{\sigma}(\mathbf{y}-\mathbf{x}) |I(\mathbf{x}) - f_1(\mathbf{y})|^2 d\mathbf{y} \\ e_2(\mathbf{x}) = \int_{\Omega} K_{\sigma}(\mathbf{y}-\mathbf{x}) |I(\mathbf{x}) - f_2(\mathbf{y})|^2 d\mathbf{y} \end{cases} \quad (11)$$

برای حل معادله (۱۰)، فرض می‌شود که  $\phi$  علاوه‌بر مکان ( $\mathbf{x}$ ) تابعی از زمان ( $t$ ) نیز باشد. براساس روش سطح تراز (منطبق بر روش گرادیان نزولی)، سمت راست معادله (۱۰) برابر با  $\frac{\partial \phi}{\partial t} - \delta \phi / \delta t$  قرار داده می‌شود:

$$\frac{\partial \phi}{\partial t} = [\lambda_1(\alpha_2 e_2 - \alpha_1 e_1) - A(\phi, t)] \delta_e(\phi) \quad (12)$$

بدیهی است که با به تعادل رسیدن معادله بالا، تغییرات  $\phi$  بر حسب زمان (و در نتیجه، سمت راست معادله بالا) صفر شده و پاسخ بهینه معادله (۱۰) به دست خواهد آمد. بنابراین، فرآیند تکامل مرز فعال در روش پیشنهادی شامل دو مرحله است. بدین ترتیب که در هر مرتبه تکرار، ابتدا توابع  $f_1$  و  $f_2$  با استفاده از معادله (۹) به هنگام می‌شوند. سپس، براساس معادله (۱۲) و با استفاده از توابع حاصل از مرحله قبل، تابع سطح تراز  $\phi$  به هنگام می‌شود. لازم به ذکر است که برای پیاده‌سازی معادله‌های (۹) و (۱۲) از روش گسسته‌سازی تفاضلات محدود استفاده شده است.

در همه آزمایش‌ها، مقادیر پارامترها ثابت  $\sigma=0.25$ ،  $\alpha_1=\alpha_2=10^4$  و  $\epsilon=1$  بوده است. این مقادیر به صورت تجربی و با سعی و خطا تنظیم شده‌اند. با این حال، تنظیم ضرایب  $\lambda_1$  تا  $\lambda_4$  اثر قابل توجهی در عملکرد روش پیشنهادی دارد. به عبارت دیگر، اثر جملات مختلف تابعی از  $\phi$  در مراحل مختلف تکامل مرز فعال متفاوت است. به عنوان مثال، اثر جمله مبتنی بر شکل باید در مراحل ابتدایی تکامل، کمتر از جملات مبتنی بر ناحیه و لبه باشد تا مرز فعال تحت تأثیر جملات مبتنی بر ناحیه و لبه از فاصله نسبتاً دور (ناشی از مقداردهی اولیه) به نزدیکی اندوکارد برسد؛ اما در مراحل نهایی تکامل، باید اثر این جمله افزایش یابد تا مرز فعال بیضی‌شکل باقی بماند. در مقابل، اثر جملات مبتنی بر لبه و شکل باید در مراحل انتهایی کمتر از مراحل ابتدایی باشد. جمله نرم کننده در طول دوره تکامل باید تابع سطح تراز را معتبر و مشتق‌پذیر نگاه دارد؛ لذا، ضریب  $\lambda_4$  در طول دوره تکامل بدون تغییر حفظ خواهد شد.

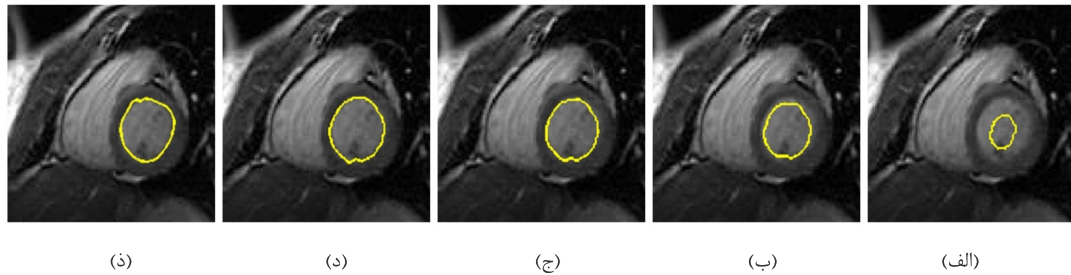
<sup>1</sup> Short-axis

<sup>2</sup> Cardiomyopathy

<sup>3</sup> Aortic regurgitation

<sup>4</sup> Enlarged ventricle

<sup>5</sup> Ischemia



(شکل - ۳): مراحل تکامل مرز فعال پیشنهادی برای ناحیه‌بندی مرز اندوکارد بطن چپ در یک تصویر تشیدید مغناطیسی قلبی: (الف) منحنی اولیه؛ موقعیت مرز فعال در گام‌های (ب) ۷۵ و (د) ۱۵۰ فرآیند تکامل؛ و (ذ) مرز مطلوب (ناحیه‌بندی دستی توسط متخصص).

(جدول - ۱): میانگین و انحراف معیار معيارهای شباهت ناحیه ( $S_{area}$ ) و شباهت شکل ( $S_{shape}$ ) برای پاسخ‌های ACWE، STACS، LBF-STACS و GAC در مقایسه با مرز مطلوب (بخش‌بندی دستی) برای چهل تصویر CMR مختلف.

	LBF-STACS	STACS	ACWE	GAC
$S_{area}$	$0.93 \pm 0.04$	$0.61 \pm 0.22$	$0.45 \pm 0.24$	$0.62 \pm 0.18$
$S_{shape}$	$0.90 \pm 0.05$	$0.38 \pm 0.24$	$0.25 \pm 0.20$	$0.22 \pm 0.23$

در شکل (۴)، پاسخ‌های SATCS، LBF-STACS و ACWE (Chan and ) (Pluempitiwiriyawej *et al.*, 2005) (Li *et al.*, 2008) LBF، (Vese, 2001) (Caselles *et al.*, 1993) (GAC) (حاصل از بخش‌بندی دستی)، برای چهار تصویر مختلف (برش چهار از مرحله انتهای دیاستول و برش هشت از مرحله انتهای سیستول)، مقایسه شده است. همان‌طور که مشاهده می‌شود، روش پیشنهادی توانسته است، بهترین پاسخ‌ها را ارائه دهد. بهدلیل تغییرات زیاد روش‌نایابی در تصاویر محک، STACS علی‌رغم آنکه LBF در تکامل مرز فعال از اطلاعات شکل استفاده نمی‌کند؛ اما پاسخ‌های نسبتاً خوبی ارائه داده است؛ زیرا، LBF یک روش قابلی محلی بوده و در برابر تغییرات شدید روش‌نایابی عملکرد مناسبی دارد. در حقیقت، روش پیشنهادی با ترکیب تابعی‌های انرژی LBF و STACS، از اطلاعات شکل و اطلاعات محلی ناحیه، بهصورت همزمان و مؤثر، سود می‌برد.

مختلف تصویربرداری شده و در هر تصویربرداری، تعداد برش‌ها در راستای محور طولی<sup>۱</sup> بین ۸ تا ۱۵ برش بوده است. در این حالت، فاصله بین دو برش متوالی بین ۶ تا ۱۳ میلی‌متر متغیر بوده و ابعاد تصویر مربوط به هر برش  $0.93 \times 1/64 \times 256 \times 256$  پیکسل با فاصله بین پیکسلی  $0.256 \times 0.256$  میلی‌متر است. بنابراین، پایگاه تصویر برای هر بیمار شامل تعداد ۱۶۰ تا ۳۰۰ تصویر مختلف است. به علاوه، مرزهای اندوکارد (بدون در نظر گرفتن عضلات پاپیلاری) و اپیکارد در هریک از برش‌ها توسط یک متخصص به صورت دستی بخش‌بندی شده است. با توجه به حجم داده‌های موجود در پایگاه تصویر، برای ارزیابی عملکرد روش پیشنهادی، برش‌های شماره چهار و هشت در مراحل پایان سیستول<sup>۲</sup> و پایان دیاستول<sup>۳</sup> برای ده بیمار مختلف انتخاب شد (درمجموع چهل تصویر مختلف). برش‌های شماره چهار و هشت شامل بخش‌های بالا و پایین حفره بطنی بوده و در آنها، عضلات پاپیلاری مزاحمت بیشتری در فرآیند بخش‌بندی اندوکارد ایجاد می‌کنند. لازم به ذکر است، مرز فعال اولیه در روش پیشنهادی برای هر تصویر به صورت دستی در داخل بطن چپ جایگذاری می‌شود (مشابه با شکل .۳).

<sup>۱</sup> Geometric active contour

<sup>۲</sup> Long-axis

<sup>۳</sup> End of systole

<sup>۳</sup> End of diastole

ناحیه و شکل برای روش پیشنهادی در حدود ۳۰٪ بهتر از ACWE روش‌های GAC و STACS و بیش از ۴۵٪ بهتر از STACS بوده است. از طرف دیگر، پاسخ‌های STACS نیز بهدلیل استفاده از اطلاعات شکل پیشین (مربوط به بیضی‌بودن مرز اندوکارد) به مراتب بهتر از ACWE و GAC بوده است.

با وجود این، مقادیر معیارهای ارزیابی مذکور در شبیه‌سازی‌های ما برای STACS بسیار پایین‌تر از نتایج گزارش‌شده در مرجع (Pluempitiwiriyawej *et al.*, 2005) است. در توضیح ( $S_{shape}=0.84\pm 0.08$  و  $S_{area}=0.88\pm 0.06$ ) این پدیده می‌توان گفت اول این که ثابت شده است روش STACS تنها در تصاویر CMR باشد نور بافتی کم<sup>۱</sup> و روش‌نایی یکنواخت کارایی داشته و از دقت آن در بخش‌بندی تصاویر با تغییرات روش‌نایی غیریکنواخت (مانند تصاویر CMR انسانی) کاسته می‌شود (Schöllhuber, 2008). دوم Pluempitiwiriyawej *et al.*, (۲۰۰۵) این که، نتایج گزارش شده در برای تصاویر CMR موشی بوده است. به هر حال، حتی با احتساب نتایج گزارش شده در (Pluempitiwiriyawej *et al.*, 2005)، باز هم می‌توان گفت که LBF-STACS عملکردی بهتر از (و یا حداقل، قابل مقایسه با) STACS داشته است.

بهمنظور مقایسه بیشتر نتایج، در شکل (۶)، نمودارهای ROC (SES) بر حسب ۱-SPC (GAC) مربوط به هر یک از الگوریتم‌های رقیب برای همه تصاویر CMR تحت بررسی (در مجموع چهل تصویر) نشان داده شده است. به طور کلی، معیارهای حساسیت (صحت بخش‌بندی پیش‌زمینه) و ویژگی (صحت بخش‌بندی پس‌زمینه) به صورت زیر تعریف می‌شوند:

$$SES = \frac{TP}{TP + FN} \quad (14)$$

$$SPC = \frac{TN}{TN + FP} \quad (15)$$

که در آن:

TP: تعداد پیکسل‌های پیش‌زمینه (داخل مرز اندوکارد)

صحیح

FN: تعداد پیکسل‌های پس‌زمینه (خارج مرز اندوکارد) غلط

TN: تعداد پیکسل‌های پس‌زمینه صحیح

بهمنظور ارزیابی کمی پاسخ الگوریتم‌های فوق در مقایسه با مرز مطلوب، از معیارهای تشابه مساحت<sup>۲</sup>، تشابه شکل<sup>۳</sup> (Pluempitiwiriyawej *et al.*, 2005)، حساسیت<sup>۴</sup> (SES) و ویژگی<sup>۵</sup> (SPC) استفاده شده است.

فرض کنید ناحیه داخل مرز فعال  $A_1$  و ناحیه داخل مرز اندوکارد مطلوب  $A_2$  باشد. طبق تعریف، معیار تشابه مساحت برابر است با دو برابر نسبت مساحت ناحیه مشترک  $A_1$  و  $A_2$  به مجموع مساحت آنها:

$$S_{area} = \frac{2n(A_1 \Lambda A_2)}{n(A_1) + n(A_2)} \quad (13)$$

که  $\Lambda$  اپراتور اشتراک بوده و  $n(.)$  مساحت یک ناحیه را برمی‌گرداند. بدیهی است که  $S_{area} \in [0,1]$ . تشابه مساحت، معیار مناسبی برای توصیف دقیق شبابت شکل دو مرز مختلف نیست. ما برای ارزیابی شبابت مرز حاصل از هر یک از مدل‌های فرم‌پذیر با مرز اندوکارد مطلوب از معیار تشابه شکل ( $S_{shape}$ ) استفاده کردی‌ایم. در صورت عدم شبابت شکل دو مرز، مقدار  $S_{shape}$  برای آنها صفر خواهد بود. در مقابل،  $S_{shape}$  برای دو مرز کاملاً یکسان برابر یک خواهد بود (توضیحات بیشتر در پیوست ج). شکل (۵) مقادیر معیارهای شبابت مساحت ( $S_{area}$ ) و شکل ( $S_{shape}$ ) برای ده تصویر مختلف (از مجموع چهل تصویر) نشان می‌دهد. بررسی این شکل حاکی از تغییرات اندک (حداکثر ۰/۱۵) معیارهای شبابت مساحت و شکل در روش LBF-STACS برای تصاویر مختلف است؛ حال آنکه نتایج این معیارها برای سه روش دیگر پراکنده‌گی قابل توجهی دارد. همچنین دقت روش پیشنهادی در بدترین حالت نیز بهتر از نتایج سایر روش‌های است.

در جدول (۱) نتایج معیارهای ارزیابی  $S_{area}$  و  $S_{shape}$  برای چهار روش شبیه‌سازی شده؛ SATCS، LBF-STACS، Chan and ACWE (Pluempitiwiriyawej *et al.*, 2005) Caselles *et al.* (GAC) و مرز فعال هندسی<sup>۶</sup> (Vese, 2001) نشان داده شده است. همان‌طور که مشاهده می‌شود روش پیشنهادی در مقایسه با سه الگوریتم رقیب عملکرد بهتری دارد؛ به طوری که معیارهای متوسط شبابت

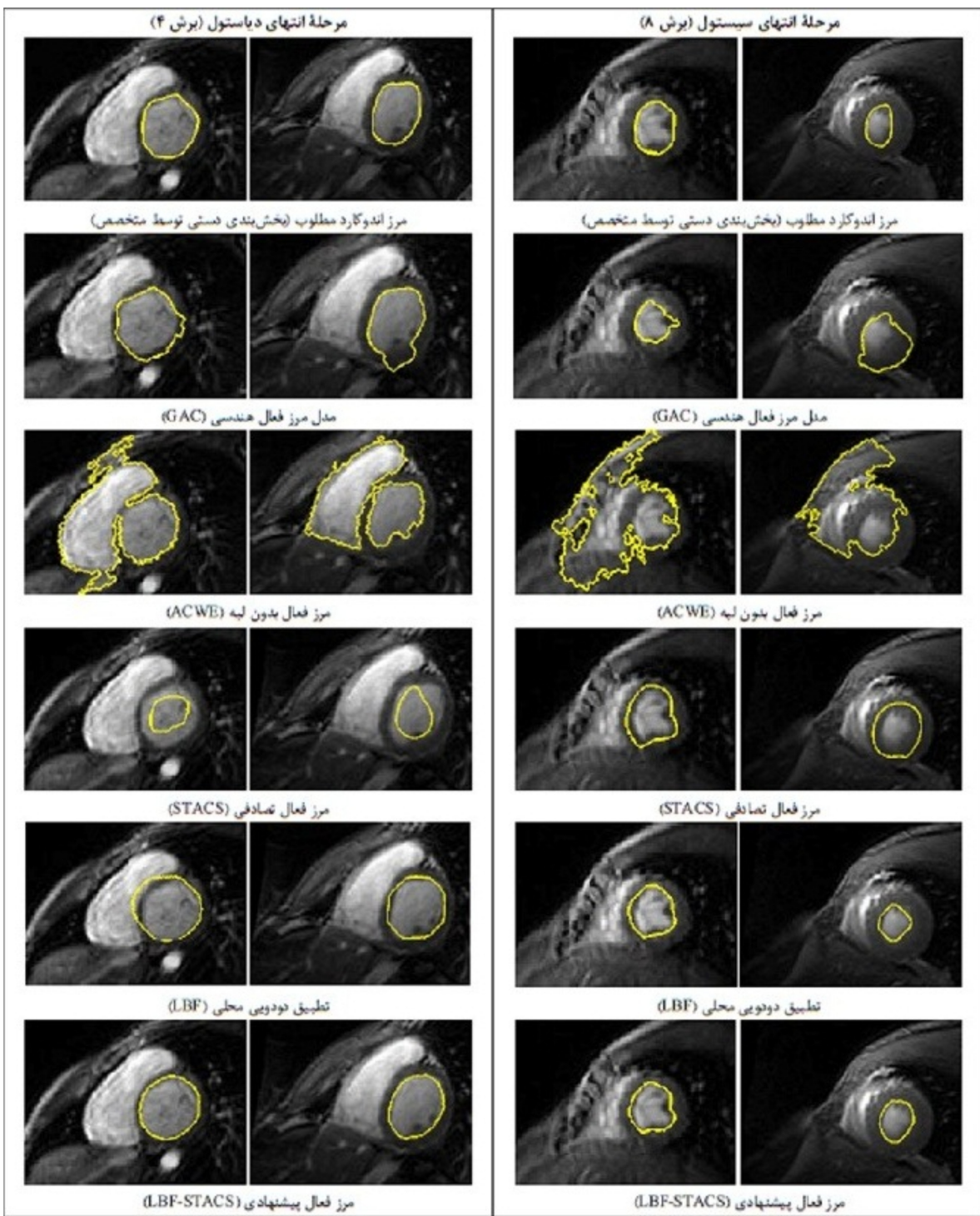
<sup>1</sup> Area similarity

<sup>3</sup> Shape similarity

<sup>4</sup> Sensitivity

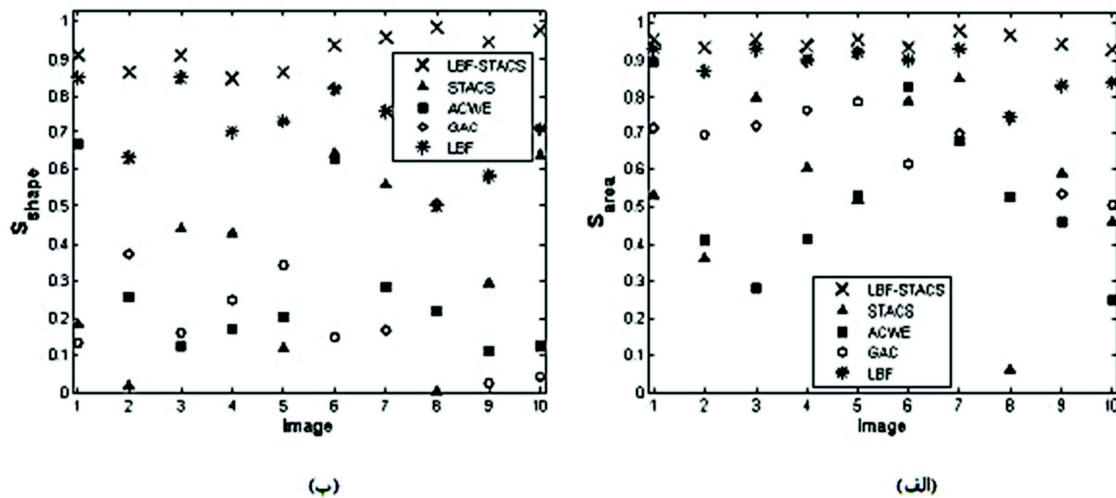
<sup>5</sup> Specificity

<sup>6</sup> Low texture contrast

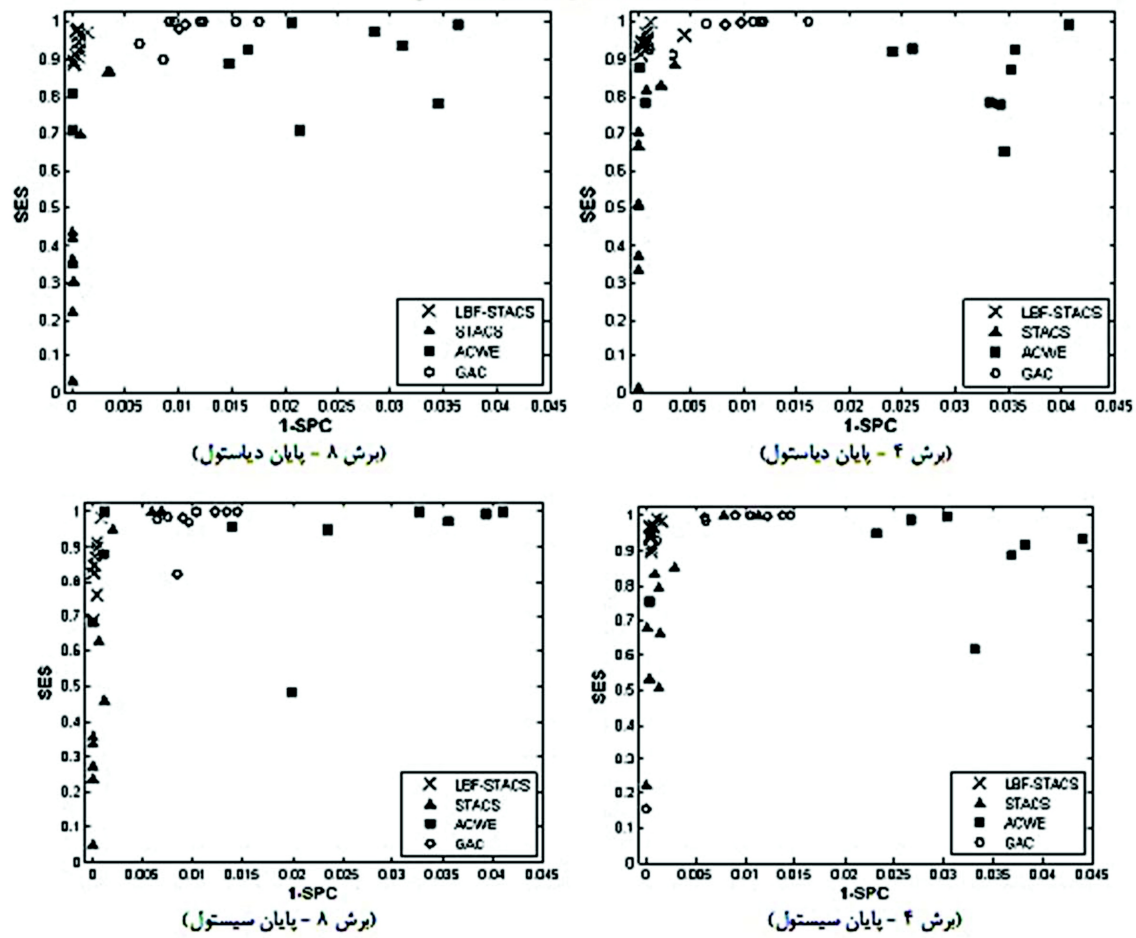


(شکل - ۴): نتایج حاصل از روش پیشنهادی (LBF-STACS)، تطبیق دودویی محلی (LBF)، مرز فعال هندسی (GAC)، مرز فعال بدون لبه (ACWE) (Pluemptiwirayewej *et al.*, 2005) و مرز فعال تصادفی (STACS) (Caselles *et al.*, 1993) در مقایسه با مرز آندوکارد مطلوب (بخش بندی دستی توسعه متخصص) برای (راست) دو تصویر مرحله انتهای سیستول و (چپ) دو تصویر مرحله انتهای دیاستول

فصل نهم  
دوفلر



(شکل-۵): مقایسه کیفیت پاسخ روش‌های LBF-STACS، STACS، ACWE، GAC و LBF برای ده تصویر مختلف براساس معیارهای (الف) شباهت مساحت و (ب) شباهت شکل.



(شکل-۶): نمودارهای ROC برای LBF-STACS، STACS، ACWE، GAC و LBF به تفکیک تصویر.

$$\begin{cases} \frac{\partial C}{\partial f_1} - \left( \frac{\partial}{\partial x} \frac{\partial C}{\partial f_{1,x}} + \frac{\partial}{\partial y} \frac{\partial C}{\partial f_{1,y}} \right) = 0 \\ \frac{\partial C}{\partial f_2} - \left( \frac{\partial}{\partial x} \frac{\partial C}{\partial f_{2,x}} + \frac{\partial}{\partial y} \frac{\partial C}{\partial f_{2,y}} \right) = 0 \end{cases} \quad (17)$$

که  $f_{i,y} = \frac{\partial f_i}{\partial y}$  و  $f_{i,x} = \frac{\partial f_i}{\partial x}$  است.

حال می خواهیم توابع بهینه  $f_1$  و  $f_2$  در تابعی انرژی معرفی شده در معادله (8) به دست آوریم. اگر معادله مذکور را با رابطه (16) تطبیق دهیم، خواهیم داشت:

$$C(f_1, f_2) = \alpha_1 \int_{\Omega} K_{\sigma}(x-y) |I(y) - f_1(x)|^2 H_{\varepsilon}(\phi(y)) dy + \alpha_2 \int_{\Omega} K_{\sigma}(x-y) |I(y) - f_2(x)|^2 (1 - H_{\varepsilon}(\phi(y))) dy \quad (18)$$

بنابراین، مطابق قضیه اویلر-لاگرانژ داریم:

$$\begin{cases} \frac{\partial C}{\partial f_1} = 2\alpha_1 \int_{\Omega} K_{\sigma}(x-y) (I(y) - f_1(x)) H_{\varepsilon}(\phi(y)) dy = 0 \\ \frac{\partial C}{\partial f_2} = 2\alpha_2 \int_{\Omega} K_{\sigma}(x-y) (I(y) - f_2(x)) (1 - H_{\varepsilon}(\phi(y))) dy = 0 \end{cases} \quad (19)$$

با ساده سازی معادله بالا، می توان نوشت:

$$\begin{aligned} & f_1(x) \int_{\Omega} K_{\sigma}(x-y) H_{\varepsilon}(\phi(y)) dy = \int_{\Omega} K_{\sigma}(x-y) [I(y) H_{\varepsilon}(\phi(y))] dy \\ & f_2(x) \int_{\Omega} K_{\sigma}(x-y) (1 - H_{\varepsilon}(\phi(y))) dy = \\ & \int_{\Omega} K_{\sigma}(x-y) [I(y) (1 - H_{\varepsilon}(\phi(y)))] dy \end{aligned} \quad (20)$$

با جای گذاری کانولوشن به جای انتگرال های بالا، به آسانی معادله (9) به دست خواهد آمد.

از طرف دیگر، تابعی انرژی معادله (8) تابعی از تابع سطح تراز  $\phi$  نیز است که باید به صورت بهینه محاسبه شود. از آنجا که در مقایسه با تابعی انرژی STACS (معادله 1)، تنها دو جمله اول تابعی انرژی پیشنهادی (معادله 8) تغییر کرده است؛ لذا در اینجا معادله اویلر-لاگرانژ تنها برای همان جملات تغییر یافته نوشته شده و پاسخ مربوط به جملات مشترک مشابه با نتایج گزارش شده در مرجع Pluempiwiriyawej et al., 2005 است.

FP: تعداد پیکسل های پیش زمینه غلط.

بدیهی است در نمودار ROC، هر چه نقاط به (۰،۱) نزدیک تر باشند، الگوریتم در بخش بندی مرز اندوکارد (و درنتیجه، تقسیم پیش زمینه از پس زمینه) موفق تر بوده است. همان طور که در شکل (۶) نشان داده شده، نقاط مربوط به پاسخ های روش پیشنهادی در گوشش بالاچپ STACS در مقایسه با LBF-STACS و ACWE و GAC عملکرد بهتری داشته است. در مجموع می توان نتیجه گرفت روش پیشنهادی در مقایسه با دیگر رقبا، در بخش بندی مرز اندوکارد موفق تر بوده است.

## ۶- نتیجه گیری

در این مقاله، یک مدل فرم پذیر جدید برای بخش بندی مرز اندوکارد در تصاویر تشخیص مغناطیسی قلبی ارائه شده است. در مرز فعلی پیشنهادی عبارت مبتنی بر ناحیه در تابعی انرژی روش STACS با جملات مبتنی بر پردازش قابی از روش LBF جایگزین شده است. بدین ترتیب، روش پیشنهادی برخلاف STACS در بخش بندی مرز اندوکارد در تصاویر با روشنایی غیریکنواخت نیز موفق است. نتایج تجربی نیز بیان گر برتری LBF-STACS را در مقایسه با سه روش GAC و ACWE STACS بر روی پایگاه تصویری شامل چهل تصویر از ده بیمار مختلف است.

## تقدیر و تشکر

بدین وسیله نویسندها مقاله مرتب سپاسگزاری خود را از معاونت پژوهشی دانشگاه فردوسی مشهد به خاطر حمایت از این پژوهش در قالب طرح پژوهشی شماره ۱/۲۸۳۸۴ ابراز می دارند. همچنین، بر خود لازم می دانیم از زحمات معاونت پژوهشی سابق و فعلی دانشکده مهندسی به خاطر همه حمایت ها و کمک های بی دریغ، قدردانی نماییم.

## پیوست الف

مطابق قضیه اویلر-لاگرانژ توابع بهینه  $(x, f_1(x), f_2(x))$  و  $x = (x, y) \in \Omega$  که تابعی انرژی:

$$J(f_1(x), f_2(x)) = \int C(x, f_1, f_2, f_{1,x}, f_{1,y}, f_{2,x}, f_{2,y}) dx \quad (16)$$

را کمینه می کند، از حل دستگاه معادلات دیفرانسیل زیر به دست می آیند:



## پیوست ج

مراحل محاسبه معیار شیاهت شکل برای دو منحنی  $C_1$  (مرز مطلوب) و  $C_2$  (مرز حاصل) به شرح زیر است  
(Pluempitiwiriyawej *et al.*, 2005)

۱) انتشار شکل مرز با محاسبه فاصله اقلیدسی بر اساس معادله زیر:

$$D(x, y) = \begin{cases} -\min_{(i,j) \in C} \sqrt{(x-i)^2 + (y-j)^2}, & (x, y) \in \Omega_1 \\ \min_{(i,j) \in C} \sqrt{(x-i)^2 + (y-j)^2}, & (x, y) \in \Omega_2 \end{cases} \quad (25)$$

که  $(i, j)$  مختصات پیکسلی بر روی منحنی  $C$  مجموعه پیکسل‌های داخل مرز  $C$  و  $\Omega_2$  مجموعه پیکسل‌های خارج مرز  $C$  است. با محاسبه تبدیل فاصله برای مرزهای  $C_2$  و  $C_1$  نگاشتهای فاصله، بهترتیب،  $D_1$  و  $D_2$  به دست می‌آید.

۲) محاسبه نگاشت مرحله با استفاده از رابطه زیر:

$$\Phi_i(x, y) = \tan^{-1} \left( \frac{\frac{\partial D_i(x, y)}{\partial y}}{\frac{\partial D_i(x, y)}{\partial x}} \right), \quad i = 1, 2 \quad (26)$$

۳) محاسبه مرحله هنجارسازی شده مطابق با معادله زیر:

$$S_{\text{phase}} = \frac{|\Phi_1 - \Phi_2 - \pi|}{\pi} \quad (27)$$

که  $S_{\text{phase}} \in [0, 1]$  است. وقتی مرزها هم مرحله هستند  $S_{\text{phase}} = 1$  می‌باشد؛ در حالی که برای دو مرز با بیشترین اختلاف مرحله  $S_{\text{phase}} = 0$  است.

۴) در نهایت، محاسبه معیار شیاهت شکل برای مرزهای  $C_2$  و  $C_1$  با استفاده از رابطه زیر:

$$S_{\text{shape}} = \frac{1}{n(C_2)} \sum_{(x,y) \in C_2} \Gamma_1(x, y) S_{\text{phase}}(x, y) \quad (28)$$

که  $n(C_2)$  بیان‌گر تعداد پیکسل‌های مرز  $C_2$  بوده و  $\Gamma_1(x, y) \in [0, 1]$  با استفاده از نگاشت فاصله  $D_1$  به صورت زیر محاسبه می‌شود:

$$\Gamma_1(x, y) = \exp \left\{ -\frac{D_1^2(x, y)}{\sigma^2} \right\} \quad (29)$$

که  $\sigma$  ضریبی ثابت و مثبت است. در معادله (۲۸)  $S_{\text{shape}} \in [0, 1]$  است؛ به طوری که مقدار یک متناظر با

از مقایسه دو جمله اول معادله (۸) با معادله کلی (الف-۱) می‌توان نتیجه گرفت که:

$$\begin{aligned} \hat{C}(\phi) &= \alpha_1 H_\varepsilon(\phi(y)) \int_{\Omega} K_\sigma(x-y) |I(y) - f_1(x)|^2 dx + \\ &\quad \alpha_2 (1 - H_\varepsilon(\phi(y))) \int_{\Omega} K_\sigma(x-y) |I(y) - f_2(x)|^2 dx = \\ &\quad (\alpha_1 e_1) H_\varepsilon(\phi(y)) + (\alpha_2 e_2) [1 - H_\varepsilon(\phi(y))] \end{aligned} \quad (21)$$

از آنجا که  $\hat{C}$  شامل مشتقات  $\phi$  نیست، لذا تنها کافی است جمله اول معادله اویلر-لاگرانژ محاسبه شود:

$$\frac{\partial \hat{C}}{\partial \phi} = \delta_\varepsilon(\phi(y)) (\alpha_1 e_1 - \alpha_2 e_2) \quad (22)$$

با جای‌گذاری عبارت اخیر در معادله (۱۰)، معادله کامل اویلر-لاگرانژ برای تابعی انرژی معادله (۸) بر حسب  $\phi$  به دست خواهد آمد.

## پیوست ب

برای تنظیم ضرایب جملات مختلف تابعی انرژی پیشنهادی Chen *et al.* (۲۰۰۸) از روابط تجربی زیر استفاده شده است

$$\begin{cases} \lambda_i(n) = \frac{1}{2} [\lambda_i(0) - \lambda_i(N)] \left[ 1 + \cos\left(\frac{n\pi}{N}\right) \right] & \text{for } i = 1, 2 \\ \lambda_3(n) = \frac{\lambda_3(N) - \lambda_3(0)}{\cosh[10(\frac{n}{N} - 1)]} \\ \lambda_4(N) = \lambda_4(0) \end{cases} \quad (23)$$

که در آن  $N$  تعداد کام‌های تکامل،  $n$  شماره گام تکامل،  $\lambda_i(0)$  و  $\lambda_i(N)$  بهترتیب مقدار شروع و پایان  $\lambda_i$  است. در روش پیشنهادی مقادیر اویلری و پایانی ضرایب بالا به صورت زیر است:

$$\begin{cases} \lambda_1(0) = 0.9 & \lambda_1(N) = 0 \\ \lambda_2(0) = 10^6 & \lambda_2(N) = 0 \\ \lambda_3(0) = 0 & \lambda_3(N) = 10^8 \\ \lambda_4(0) = 10 & \lambda_4(N) = 10 \end{cases} \quad (24)$$

لازم به ذکر است منحنی‌های تغییرات ضرایب  $\lambda_1$  تا  $\lambda_4$  در شکل (۲) نشان داده شده است.



Int'l Symp. Biomedical Imaging: From Nano to Macro, pp. 25–28, 2009.

Li, C., Kao, C., Gore J. and Ding, Z., “Minimization of region-scalable fitting energy for image segmentation”, IEEE Trans. Image Processing, vol. 17, no. 10, pp. 1940–1949, 2008.

Lynch, M., Ghita, O., and Whelan, P. F., “Left-ventricle myocardium segmentation using a coupled level-set with a priori knowledge”, Computerized Medical Imaging and Graphics, vol. 30, no. 4, pp. 255–262, 2006.

Mendis, S., Puska, P., Global Atlas on Cardiovascular Disease Prevention and Control. WHO Press, World Health Organization Publications, 2011.

Paragios, N., “A level set approach for shape-driven segmentation and tracking of the left ventricle”, IEEE Trans. Medical Imaging, vol. 22, no. 6, pp. 773–776, 2003.

Petitjean, C. and Dacher, J.N., “A review of segmentation methods in short axis cardiac MR images,” Medical Image Analysis, vol. 15, no. 2, pp. 169–184. 2011

Pluempitiwiriyawej, C., Moura, J. M. F., Lin Wu, Y.-J and Ho, C., “STACS: New active contour scheme for cardiac MR image segmentation,” IEEE Trans. Medical Imaging, vol. 24, no. 5, pp. 593–603, 2005.

Ranganath, S., “Contour extraction from cardiac MRI studies using snakes”, IEEE. Trans. Med. Imag, vol. 14, no. 2, pp. 328–338, 1995.

Sapiro, G., Geometric Partial Differential Equations and Image Analysis. Cambridge, U.K.: Cambridge Univ. Press, 2001.

Schöllhuber, A., Automatic segmentation of contrast enhanced cardiac MRI for myocardial perfusion analysis. M.Sc. Theses, Inst. Comp. Graph. Alg, Vienna Univ, Vienna, Austria, 2008.

Sethian, J., “Level set methods and fast marching methods,” vol. 3, Cambridge University Press, 1999.

Tsotsos, J., “Laboratory for Active and Attentive Vision (LAAV)”, 2014. [Online] Available: <http://www.cse.yorku.ca/~mrdataset/>

Vese L., and Chan, T., “A multiphase level set framework for image segmentation using the Mumford and Shah model”, Int. J. Computer Vision, vol. 50, no. 3, pp. 271–293, 2002.

Woo, J., Hong, B.-W., Ramesh, A., Germano, G., Jay Kuo, C.-C. and Slomka, P., “Curve evolution with a dual shape similarity and its application to segmentation of left ventricle”, Medical Imaging

حداکثر انطباق بین مرازها و مقدار صفر متناظر با عدم انطباق کامل است. درصورتی که  $S_{shape} > 0.7$  باشد، تطابق عالی بین شکل مرازها برقرار است ( Pluempitiwiriyawej et al., 2005 ).

## مراجع

Ben Ayed, I., Li, S. and Ross, I., “Embedding overlap priors in variational left ventricle tracking,” IEEE Trans. Med. Imag, vol. 28, no. 12, pp. 1902–1913, 2009.

Caselles, V., Catte, F., Coll, T. and Dibos, F., “A geometric model for active contours”, Numerische Mathematik, vol. 66, no. 1, pp. 1–31, 1993.

Caselles, V., Kimmel, R., and Sapiro, G., “Geodesic active contours,” in Proc. IEEE Int’5 Conf. Computer Vision, pp. 694–699, 1995.

Chan, T. and Vese, L., “Active contours without edges”, IEEE Trans. Image Processing, vol. 10, no. 2, pp. 266–277, 2001.

Chen, T., Babb, J., Kellman, P., Axel, L. and Kim, D., “Semiautomated segmentation of myocardial contours for fast strain analysis in cine displacement-encoded MRI”, IEEE Trans. Medical Imaging, vol. 27, no. 8, pp. 1084–1094, 2008.

Cootes, T. F, Taylor, C. J., Cooper D. H. and Graham J., "Active Shape Models-Their Training and Application", Computer Vision and Image Understanding, vol. 61, no 1, pp. 38–59, 1995.

Elsgolc, L. E., Calculus of Variations. Reading, MA: Addison-Wesley, 1962.

Hautvast, G., Segmentation of short axis cardiac MR using Active Contours. M.A. Thesis, University of Eindhoven, 2004.

Kass, M., Witkin, A. and Terzopoulos, D., “Snakes: active contour models,” Int. J. of Computer Vision, vol. 1, no. 4, pp. 321–331, 1987.

Lankton S. and Tannenbaum A., “Localizing region-based active contours”, IEEE Trans. Image Processing, vol. 17, no. 11, pp. 2029–2039, 2008.

Li, C., Huang, R., Ding, Z., Gatenby, C., Metaxas, D. N. and Gore, J. C., “A level Set method for image segmentation in the presence of intensity inhomogeneities with application to MRI”, IEEE Trans. Image Processing, vol. 20, no. 7, pp. 2007–2016, 2011.

Li, C., Jia, X. and Sun, Y., “Improved semi-automated segmentation of cardiac CT and MR images,” IEEE



به منظور تشخیص بیماری های آلزایمر و اوتیسم، پردازش تصاویر رادیولوژی با دو انرژی و تعیین سن استخوانی براساس تصاویر رادیولوژی دست چپ بوده است.  
نشانی رایانمۀ ایشان عبارت است از:  
[saadatmand@um.ac.ir](mailto:saadatmand@um.ac.ir)

Physics of Medical Imaging .Proc. of SPIE, 2009, vol. 7259, pp. 7259T\_1.

Yuan, J., Li, P., Wen, Y. and Xu, Y., "Level set segmentation of intensity inhomogeneous images based on local linear approximation of difference image", IET Image Processing, vol. 6, no. 5, pp. 473–482, 2012.

Zhang, K., Song, H. and Zhang, L., "Active contours driven by local image fitting energy", J. of Pattern Recognition, vol. 43, no. 4, pp. 1199–1206, 2010.



### محمد-باقر خامه‌چیان مدرک

کارشناسی خود را در رشته مهندسی پزشکی- بیوالکتریک از دانشگاه آزاد اسلامی مشهد در سال ۱۳۹۰ و کارشناسی ارشد خود را در همان رشته از دانشگاه فردوسی مشهد در سال ۱۳۹۲ اخذ کرد. موضوعات پژوهشی مورد علاقه ایشان؛ تصویرگری پزشکی، پردازش تصاویر پزشکی، پزشکی از راه دور است.

نشانی رایانمۀ ایشان عبارت است از:

[bagher.m.kh@gmail.com](mailto:bagher.m.kh@gmail.com)



### مهدی سعادتمند طرجزحان در

سال ۱۳۵۹ در مشهد متولد شد. وی مدرک کارشناسی خود را در رشته مهندسی برق- کنترل از دانشگاه فردوسی مشهد در سال ۱۳۸۱ اخذ کرد. همچنین، وی موفق به کسب مدرک کارشناسی ارشد و درجه دکتری (PhD) در رشته مهندسی پزشکی- بیوالکتریک، به ترتیب، از دانشگاه صنعتی خواجه نصیرالدین طوسی در سال ۱۳۸۴ و دانشگاه تربیت مدرس در سال ۱۳۸۹ شده است. زمینه های پژوهشی مورد علاقه وی، به صورت عام، پردازش تصاویر پزشکی، تصویربرداری پزشکی و پردازش سیگنال های حیاتی است. آخرین تحقیقات وی در زمینه بخش بندی تصاویر تشدید مغناطیسی قلبی، پردازش سیگنال های صدای قلب و ECG به منظور تشخیص بیماری های قلبی، پردازش تصاویر تشدید مغناطیسی مغزی